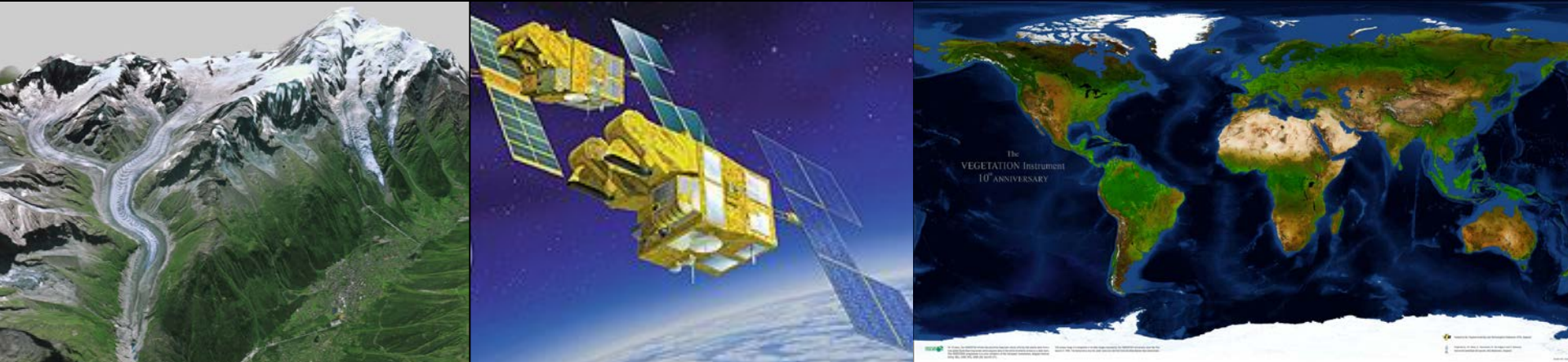


Bilan de Masse des Glaciers par télédétection optique basse résolution



Vanessa Drolon LEGO Thèse CLS+VITO

Céline Belleville LEGO/Stage CNES

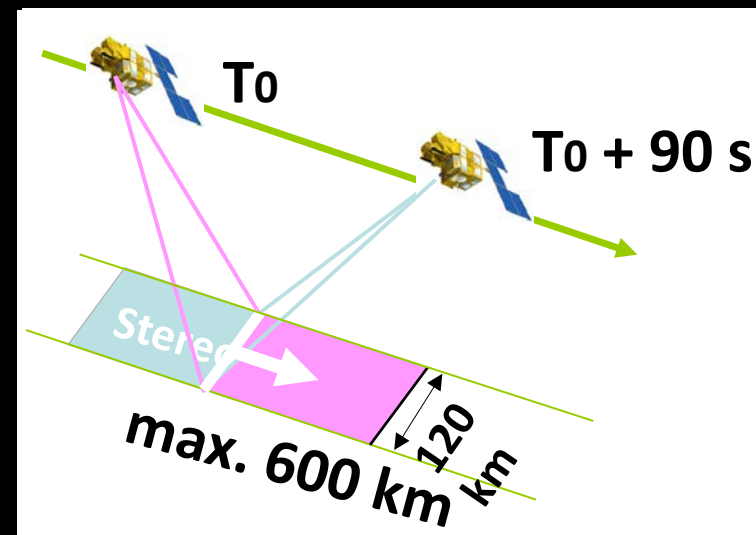
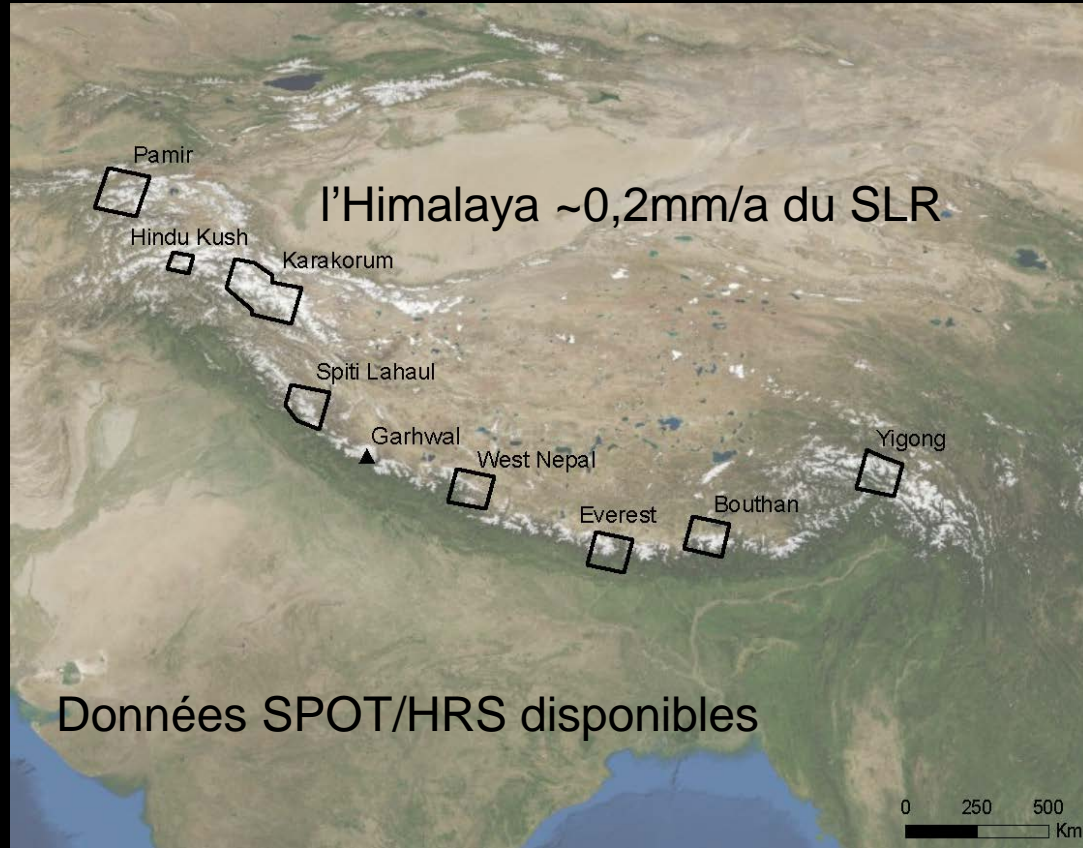
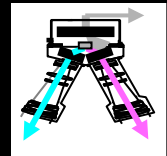
Adalbert Arsen LEGO Thèse CLS+CNES

Etienne Berthier LEGO/CNRS

Philippe Maisongrande LEGO/CNES

Contexte 1/2

- Glaciers continentaux: ~ 30% (1mm/an) du SLR global.
- SPOT/HRS, précis mais usage difficile à l'échelle globale.

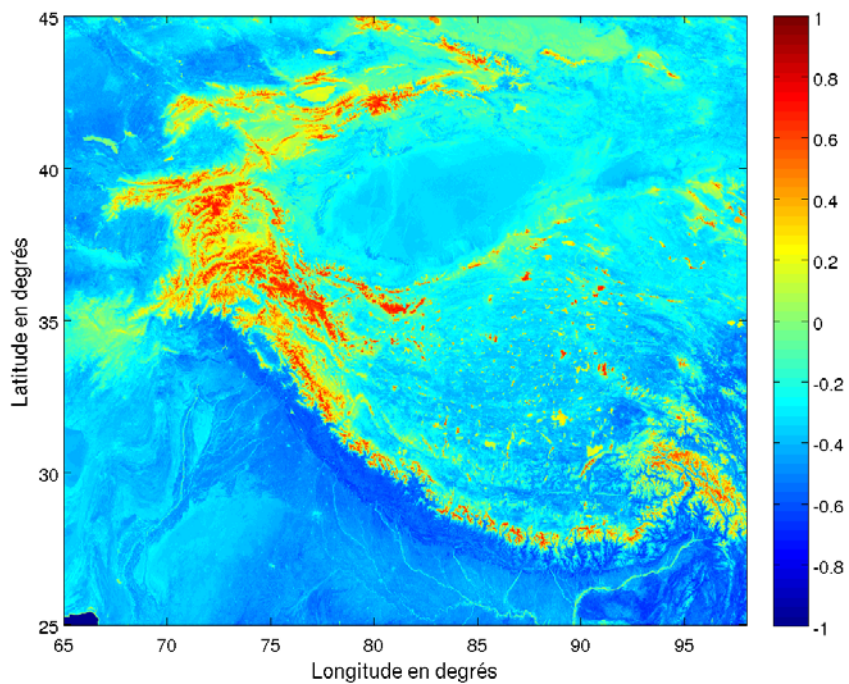


- SPOT/HRS (120km * 900)
- Couverture partielle
- Faible répétitivité
- Payantes

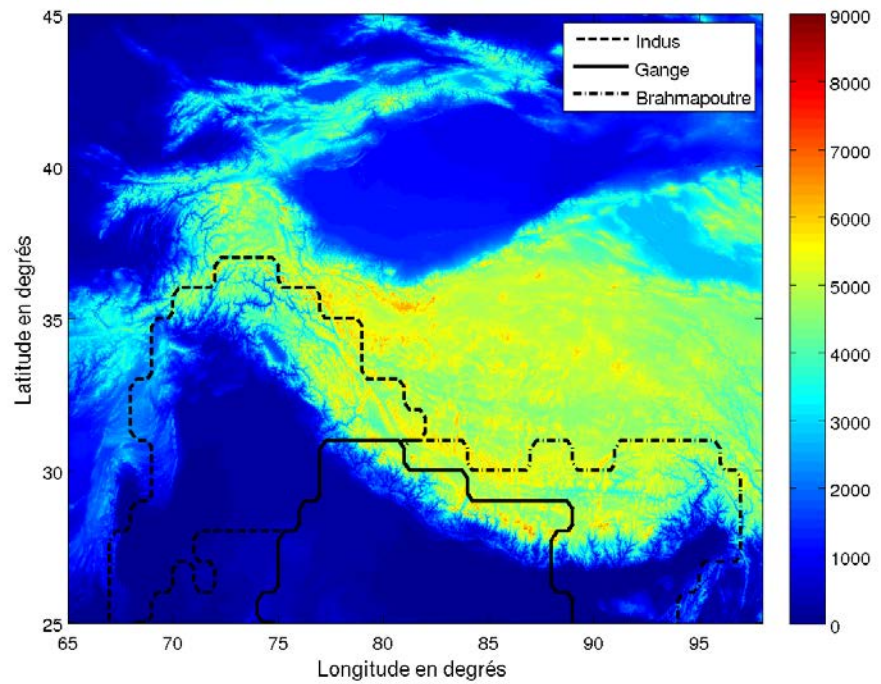
Contexte 2/2

Méthode alternative

- bilan de masse annuel des glaciers = $f(\text{enneigement} (t, \text{altitude}))$
(Snowline altitude: Kulkarni et al. 2004, Rabatel et al. 2005)

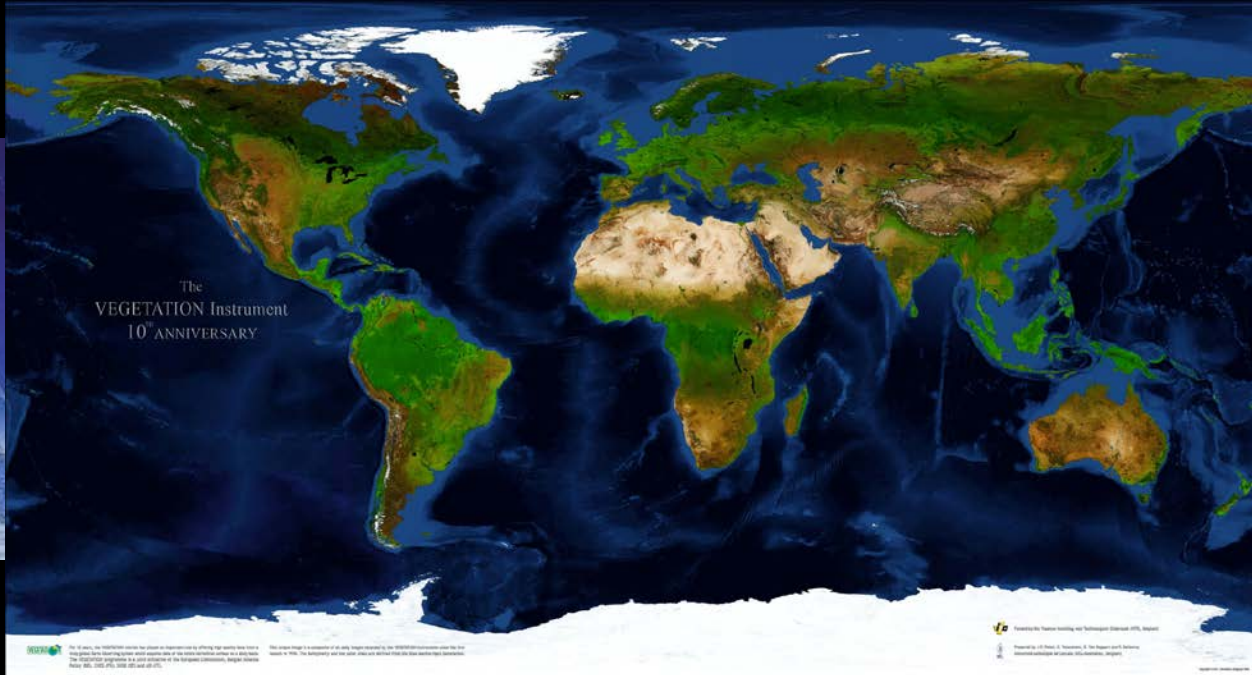


Carte d'enneigement



Relief

VEGETATION embarqué sur SPOT4 & SPOT5

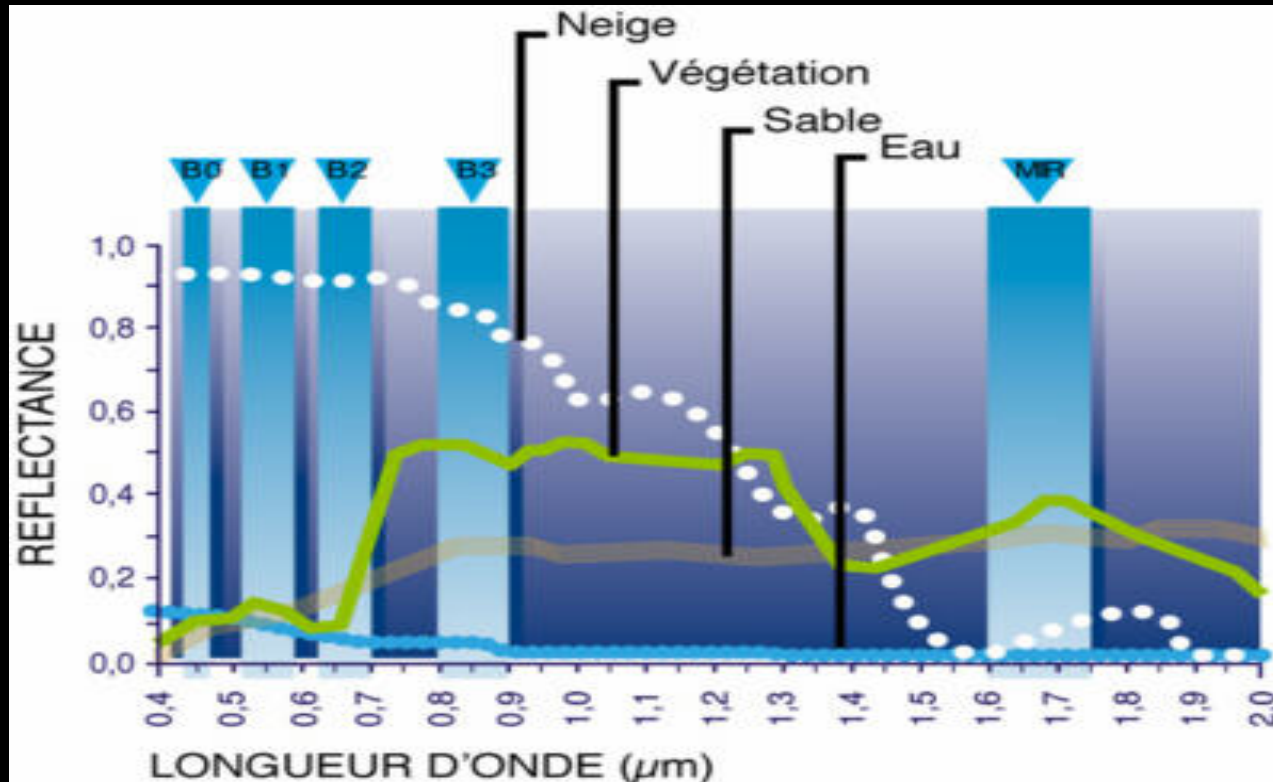


- Mission opérationnelle depuis 1998 (données gratuites)
- Couverture journalière globale à la résolution kilométrique
- Synthèses journalières et décadiques avec corrections Atmosph.

- 4 canaux :

<i>Bleu</i>	$(0.43 - 0.47 \mu m)$
<i>Rouge</i>	$(0.61 - 0.68 \mu m)$
<i>Proche Infrarouge (PIR)</i>	$(0.78 - 0.89 \mu m)$
<i>Moyen Infrarouge (MIR)</i>	$(1.58 - 1.75 \mu m)$

Justification des bandes spectrales de SPOT/VGT



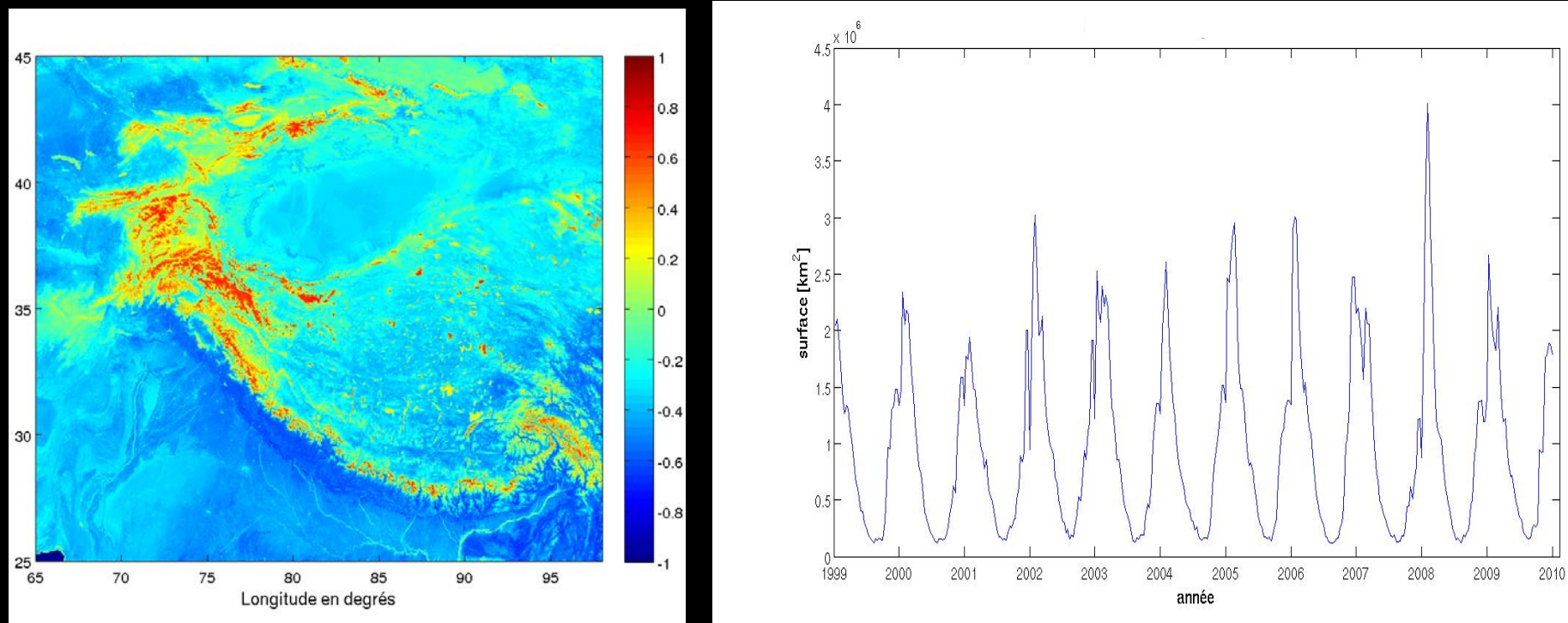
Normalized Difference
Vegetation Index

$$NDVI = \frac{\rho_{pir} - \rho_{rouge}}{\rho_{pir} + \rho_{rouge}}$$

Normalized Difference
Snow Index

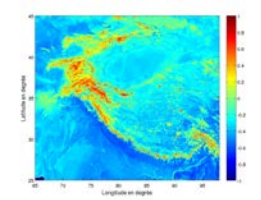
$$NDSI = \frac{\rho_{mir} - \rho_{vis}}{\rho_{mir} + \rho_{vis}}$$

Surface Enneigée sur le massif Himalayen (1999-2010)



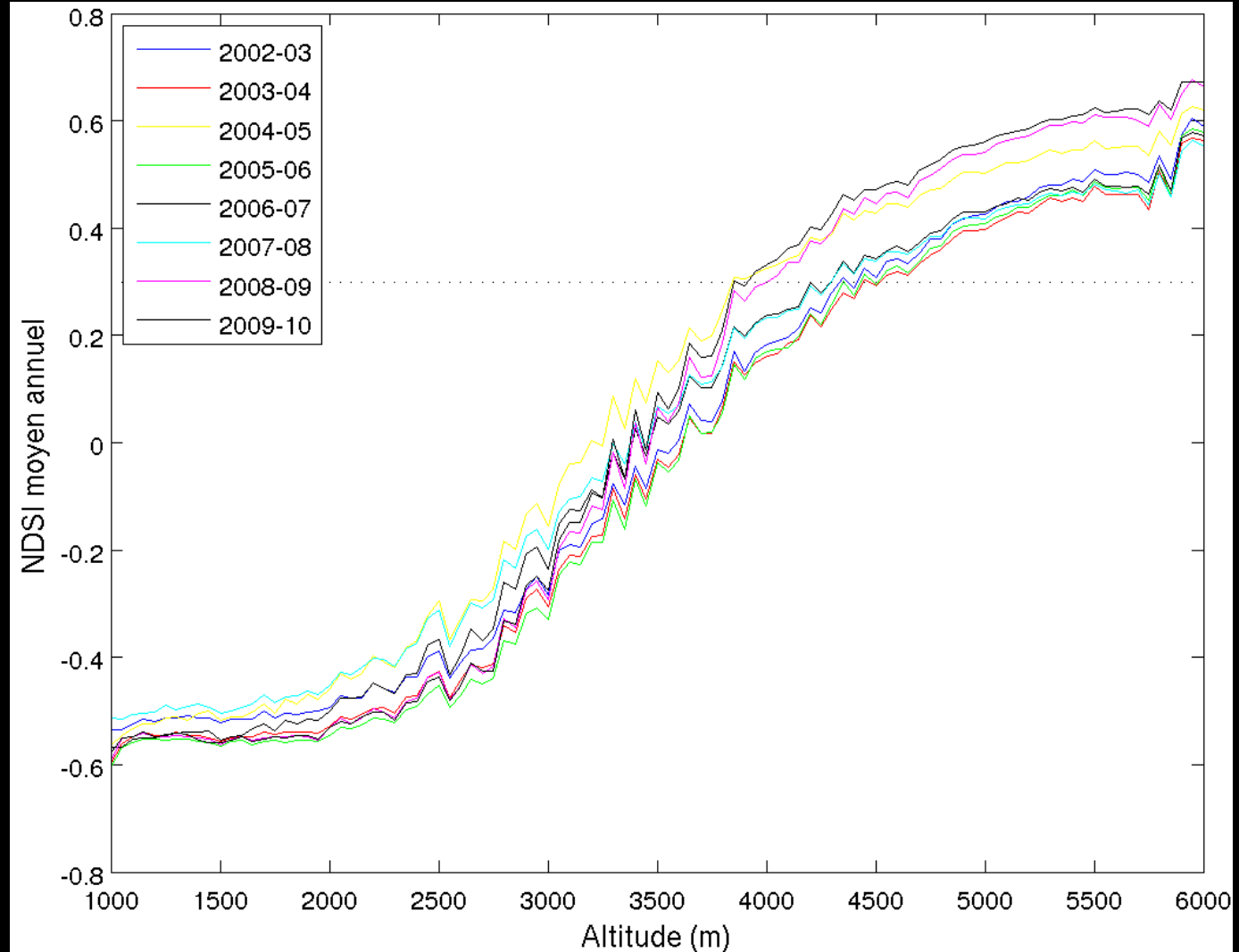
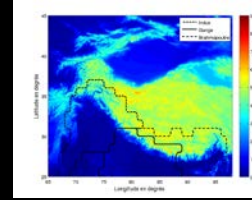
La durée de l'archive VGT et sa qualité radiométrique lui confèrent une richesse statistique utile à la caractérisation :

- de l'enneigement moyen,
- de sa variabilité interannuelle,
- d'éventuelles tendances sur son évolution.



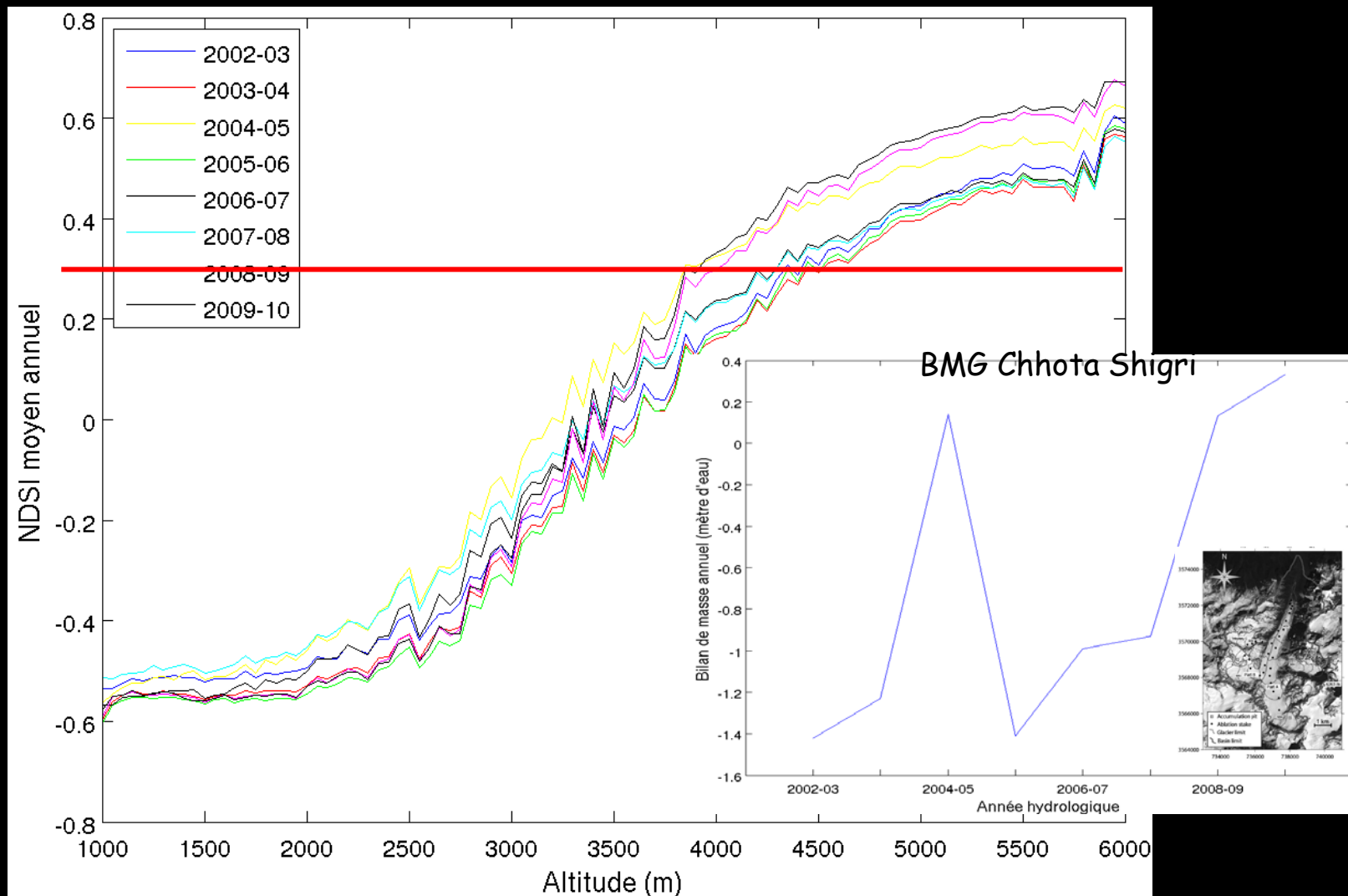
SPOT/VEGETATION de 1998 à 2012

Distribution altitudinale du NDSI

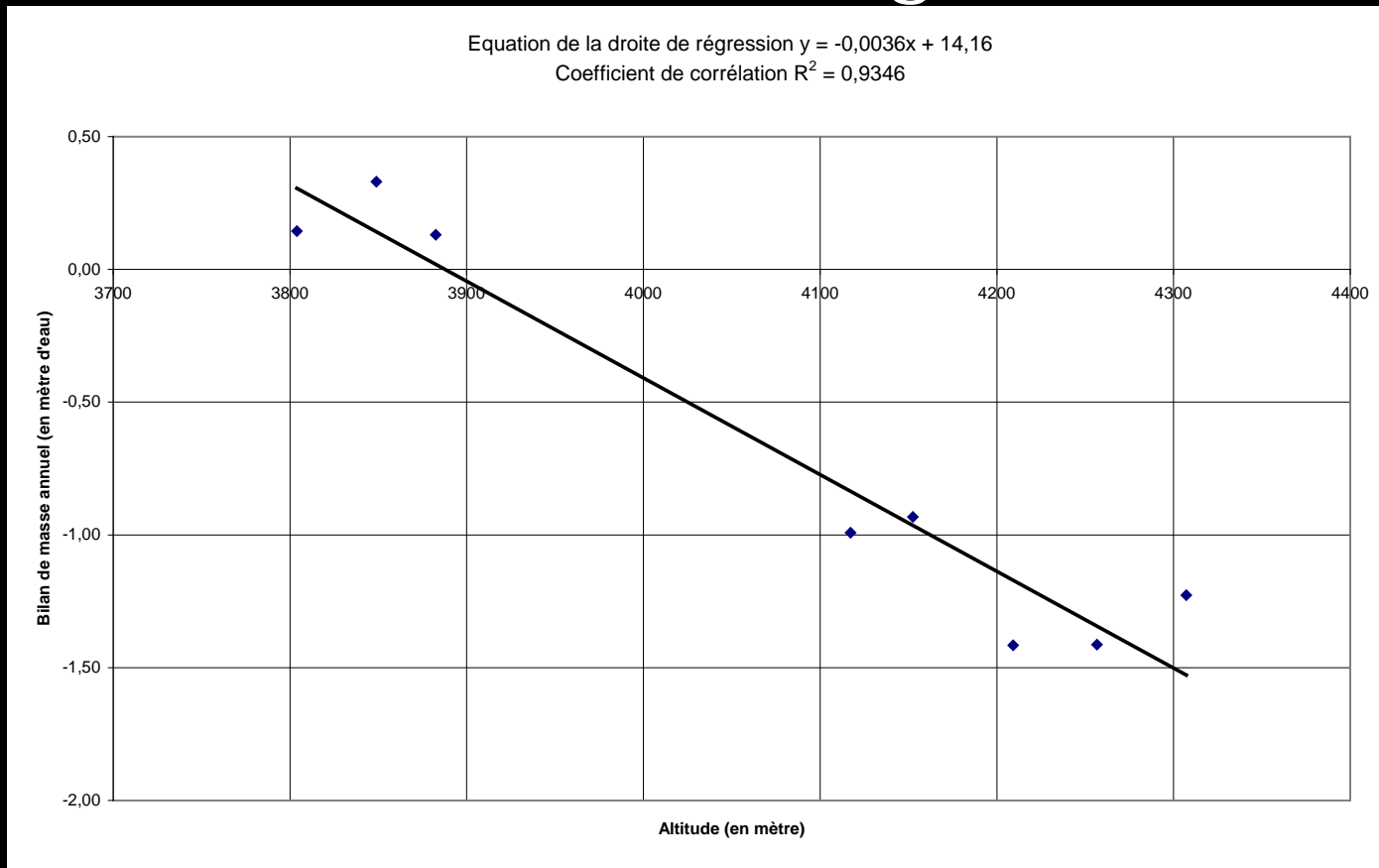


SPOT/VEGETATION de 1998 à 2012

Distribution altitudinale du NDSI



Bilan de masse vs Altitude d'enneigement

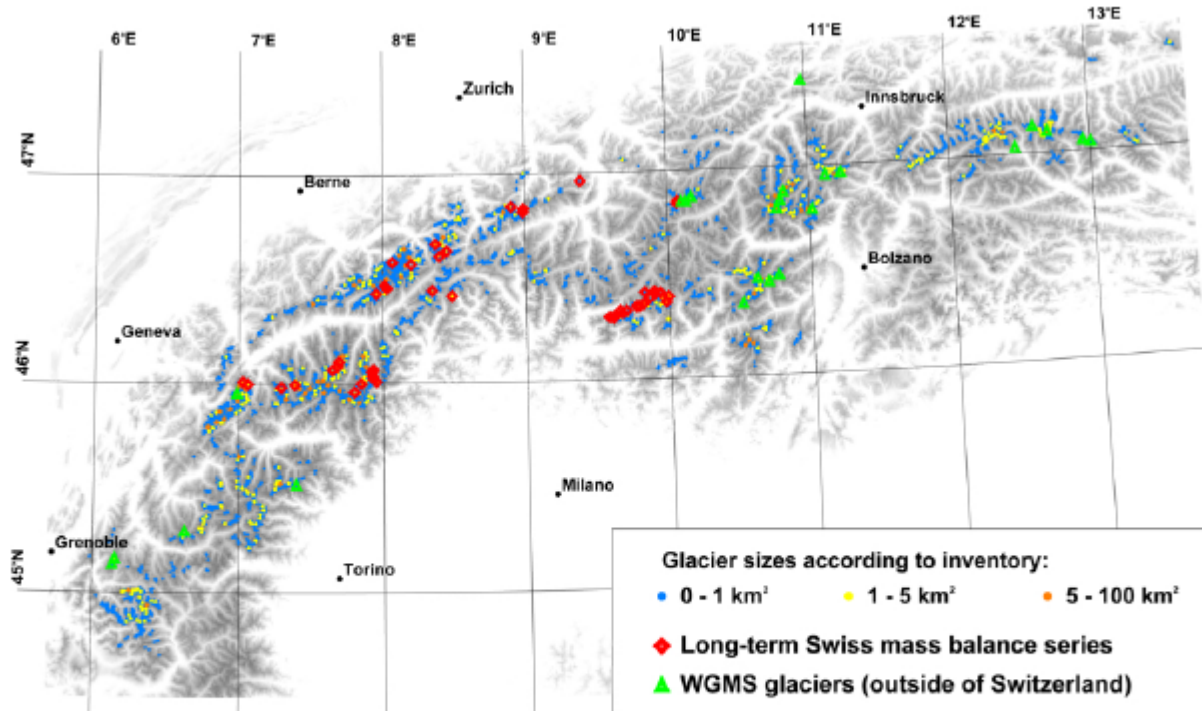


$$\text{BMG} = -0,0036 * \text{altitude} + 14,16$$
$$R^2 = 0,93$$

Objectif: spatialiser une telle relation

Thèse de Vanessa Drolon
Depuis Janvier 2013
Financement CLS/VITO

- Améliorer et valider la relation sur les alpes:
 $BMG = f(\text{altitude de l'enneigement})$
- Transposer cette relation à d'autres régions du globe
(Andes, Rocheuses, hautes latitudes...)

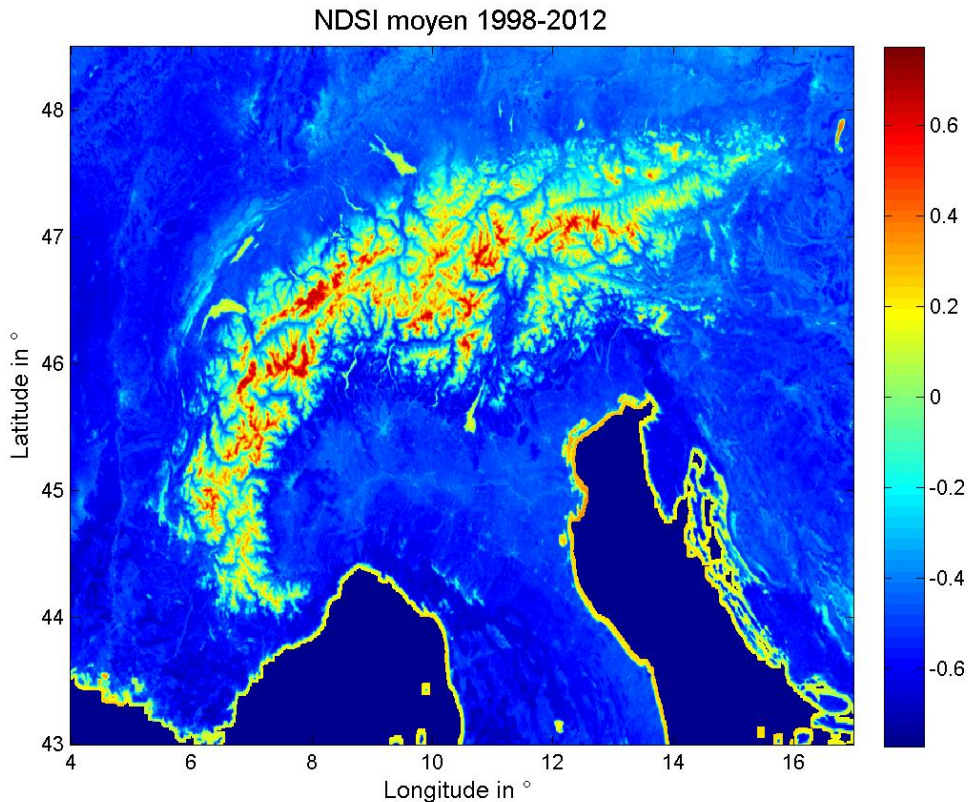


50 glaciers de 1996 à 2008 (Huss et al 2010)

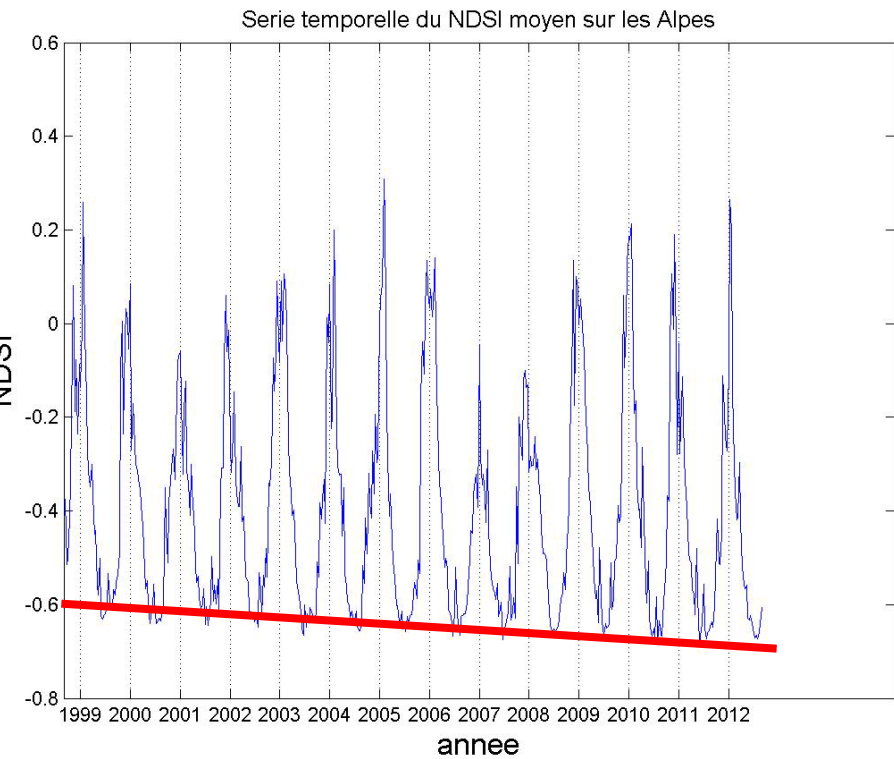
46 glaciers de 1949 à 2010 (World Glaciers Monitoring Service)

Validation sur les alpes

NDSI moyen sur 1998-2012

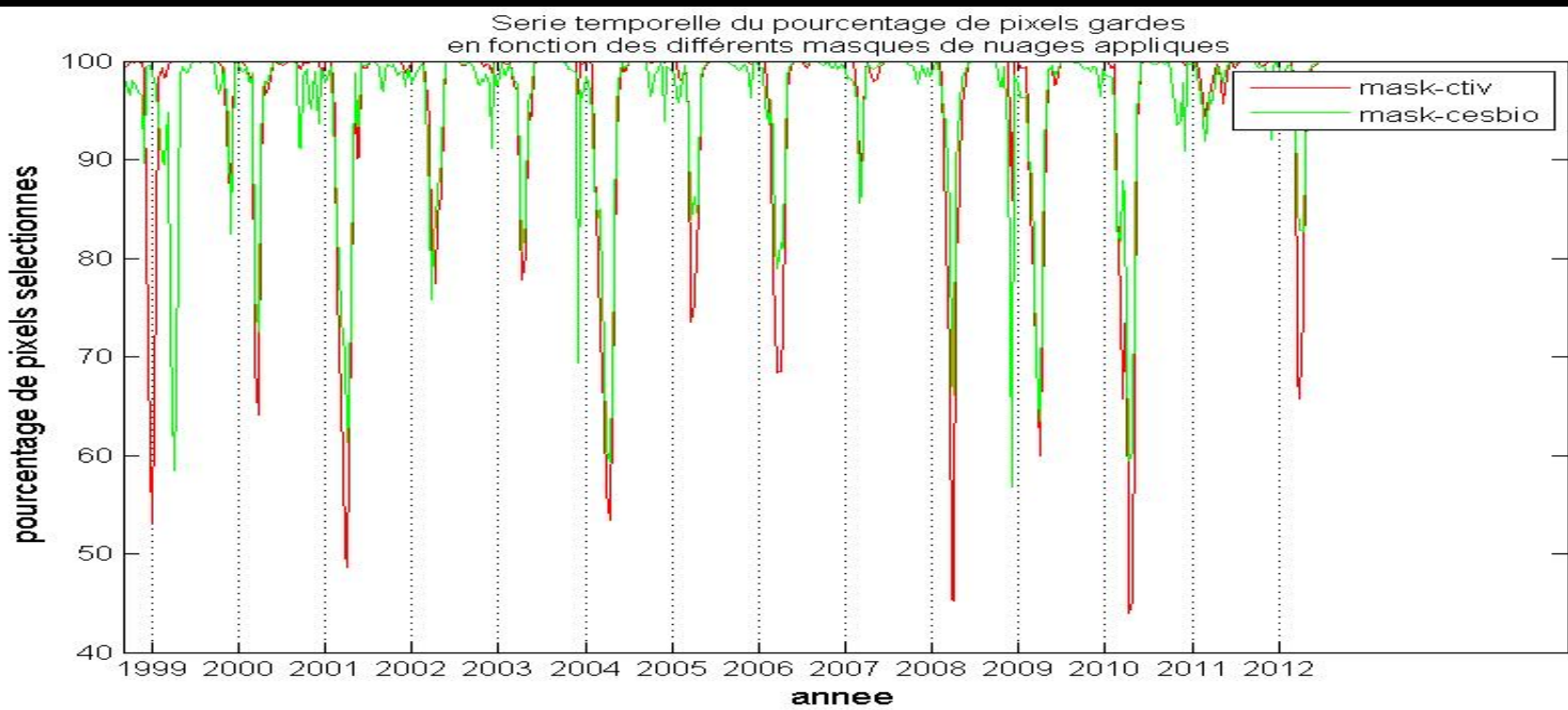
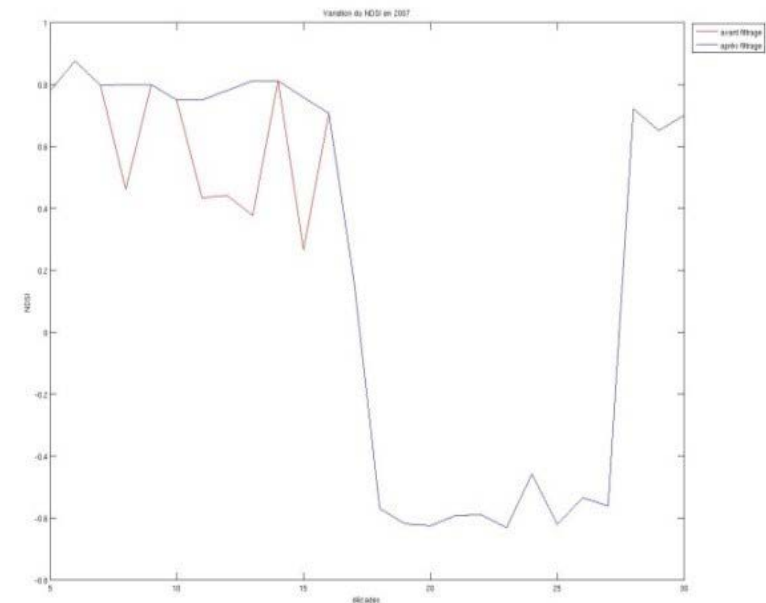


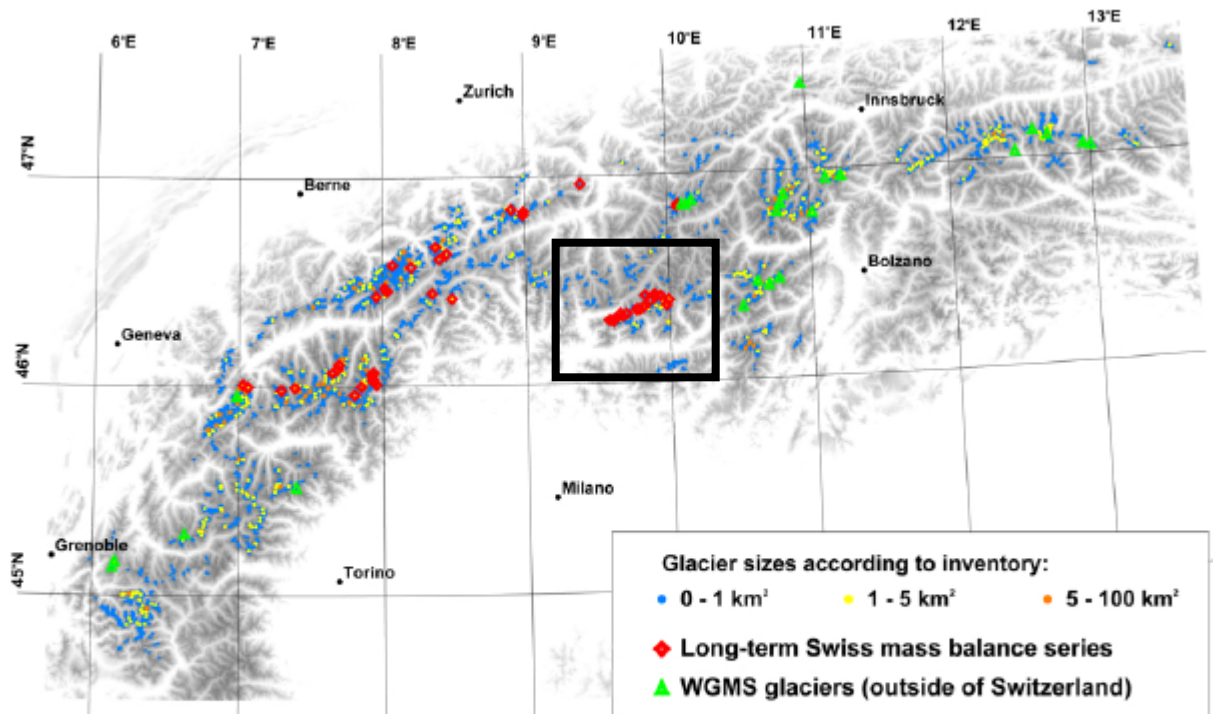
NDSI décadaire de 1998-2012



Filtrage des nuages

Cloud Masks
CTIV
Zhu & al
Sirguey
Berthelot





50 glaciers de 1996 à 2008 (Huss et al 2010)

46 glaciers de 1949 à 2010 (World Glaciers Monitoring Service)

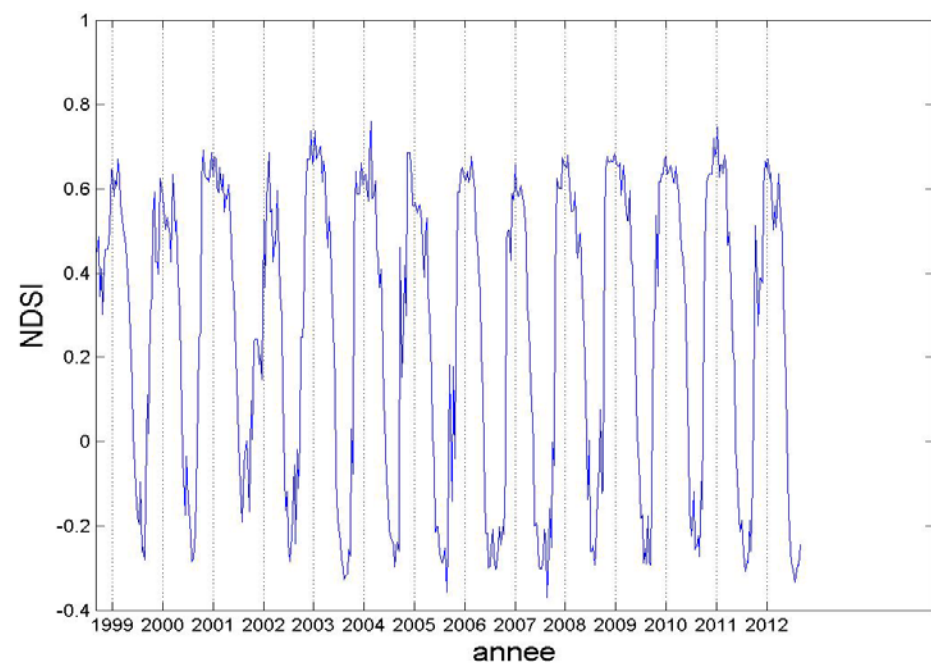


Le glacier Albigna

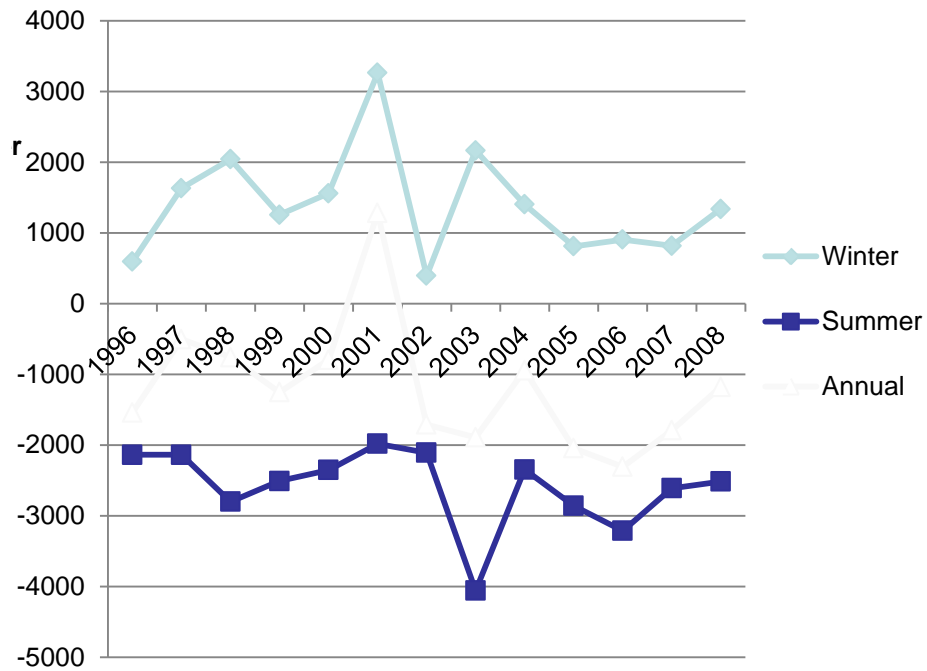
2160-3340 m

(46.3 N, 9.6 E) 5.93 km²

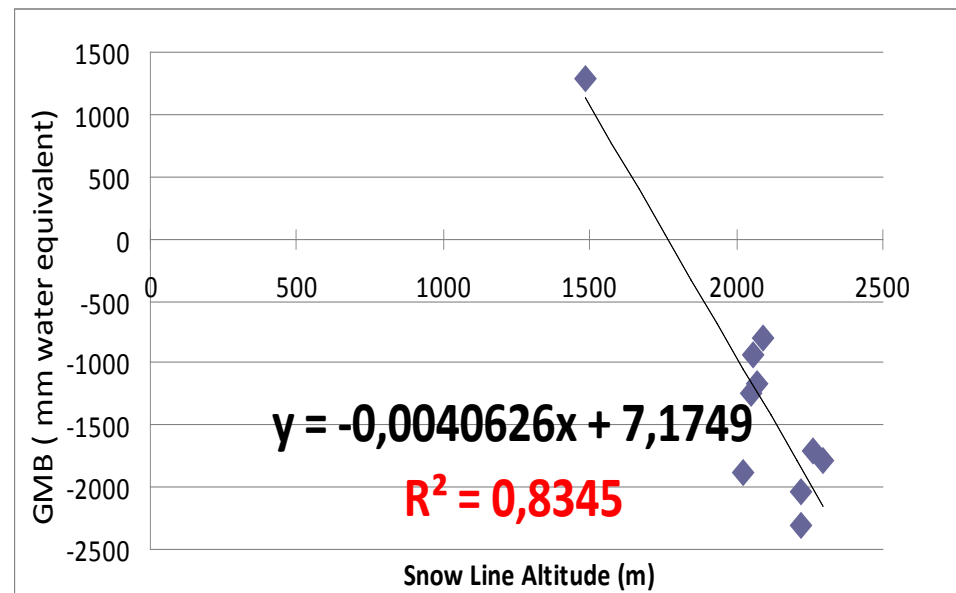
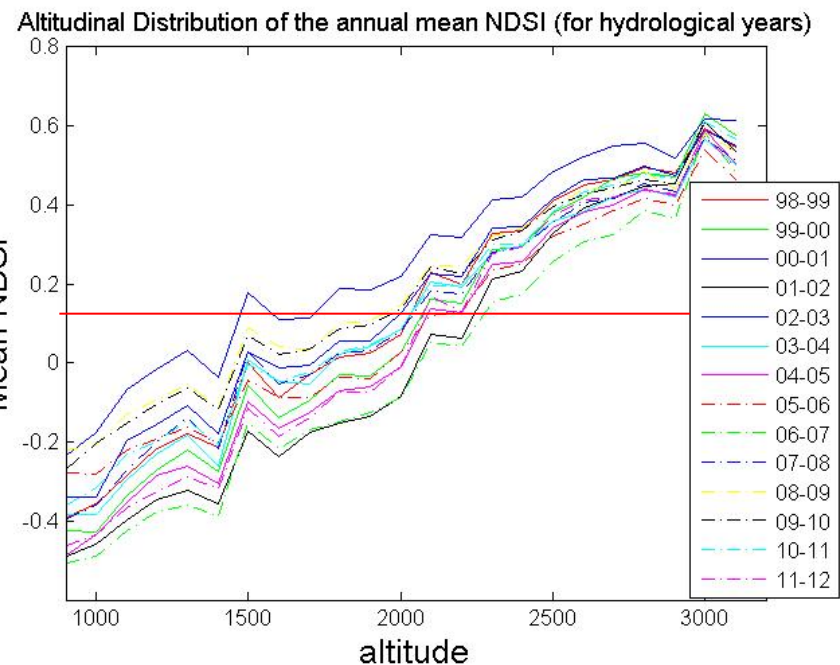
NDSI Time series (9x9 pixels)



Albigna's winter, summer and annual Mass Balance evolution

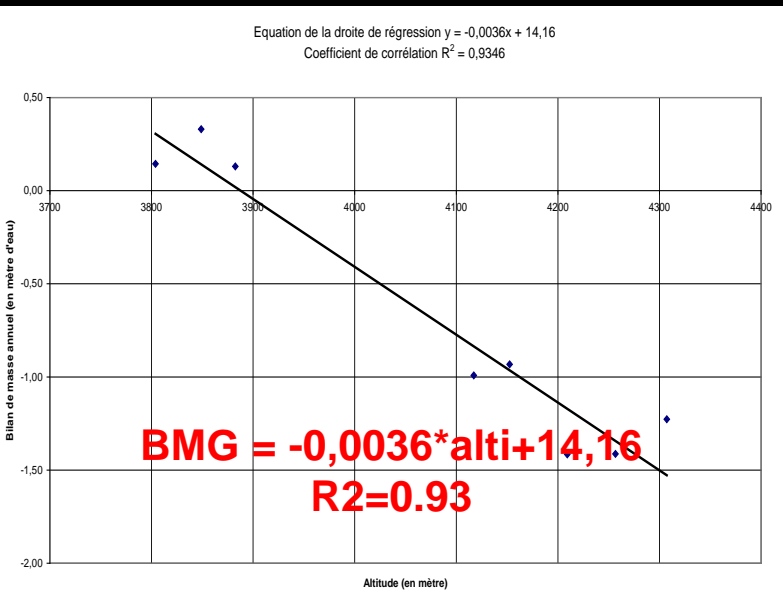


Relation Bilan de masse =F(AltitudeTaille fenêtre 15kmx15km seuil NDSI 0.15



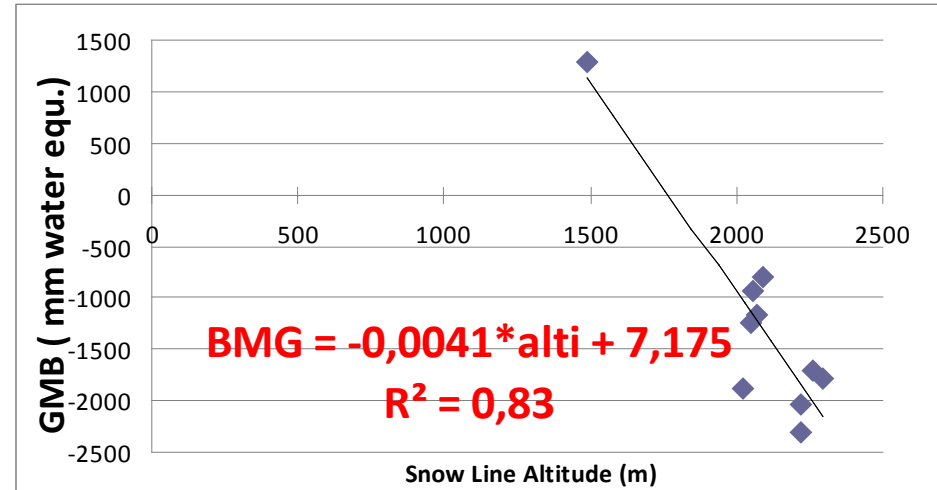
Chhota Shigri

alt max: 6263m; taille: 16,3 km²;
orientation: Nord



Albigna

alt:2160-3340 m, taille: 4,69,
orientation: Nord

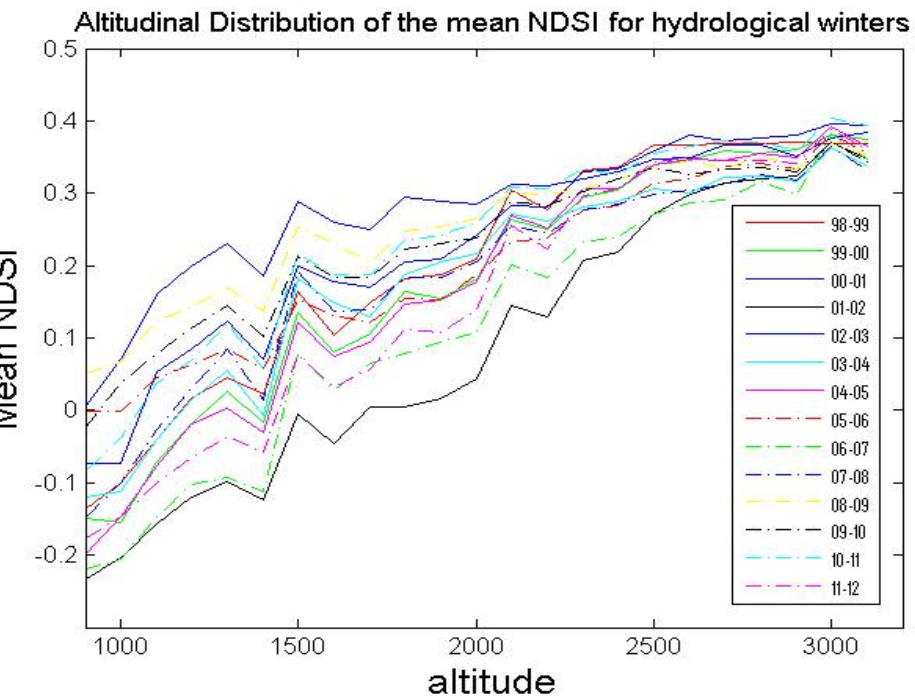


Seuil NDSI	R ²	Equation
0	0.545499	9.912727 - 0.003083* alt
0,05	0.735725	18.047213 - 0.005291* alt
0,1	0.649704	11.896153 - 0.003414* alt
0,15	0.801422	27.767681 - 0.007504* alt
0,2	0.794974	13.644640 - 0.003631* alt
0,25	0.934395	14.236548 - 0.003662* alt
0,3	0.925652	12.406763 - 0.003131* alt

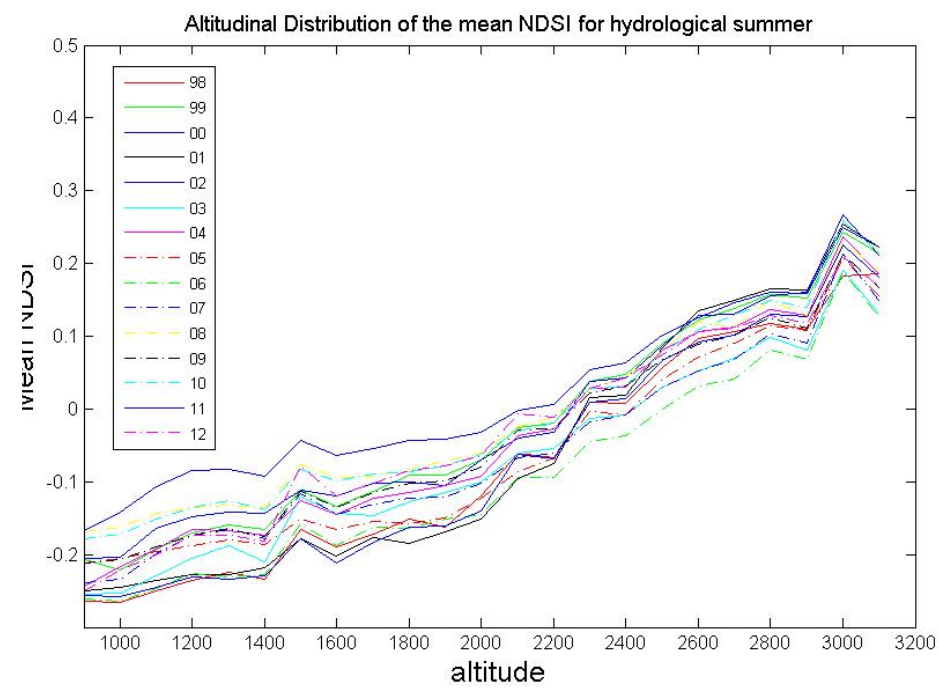
Seuil NDSI	R ²	Equation
0	0.436324	2.480335 - 0.002171* alt
0,05	0.670659	7.035954 - 0.004299* alt
0,1	0.725319	6.885831 - 0.004043* alt
0,15	0.83446	7.174913 - 0.004063* alt
0,2	0.45393	9.45282 - 0.004892* alt
0,25	0.626545	13.32955 - 0.006368* alt
0,3	0.558737	11.55336 - 0.005379* alt

Comparison Hiver / été

Hivers
01/10---->30/04

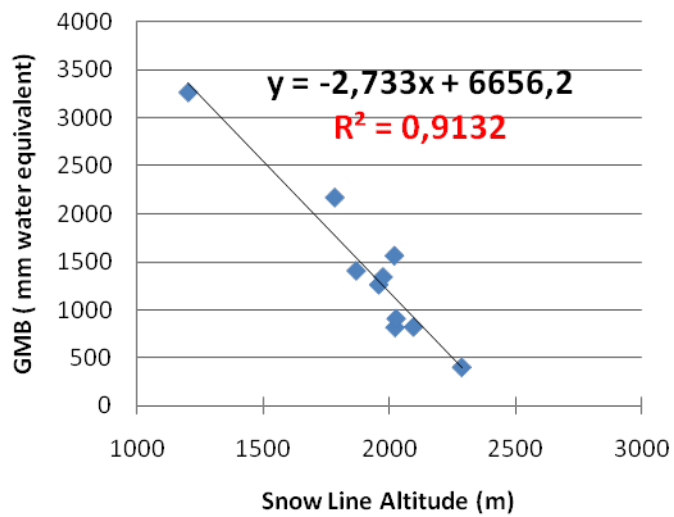


Etés
01/05---->30/09



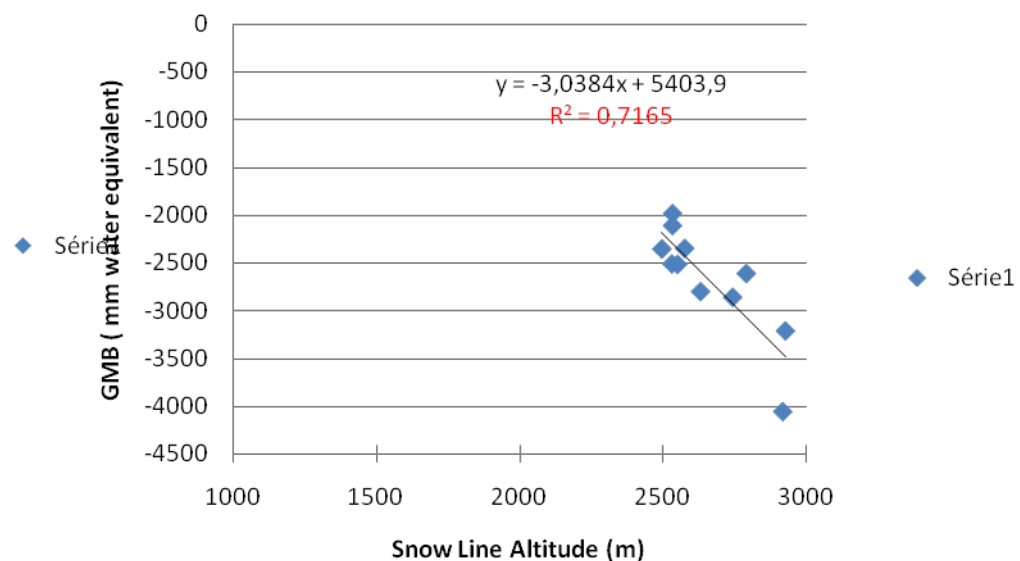
Comparison Hiver / été

Linear regression between Snow line altitude and GMB for the Albigna Glacier (15x15 pixels, hydrological winter from 98-99 to 2007-2008)



1998→2008 (NDSI of 0.20)

Linear regression between Snow line altitude and GMB for the Albigna Glacier (15x15 pixels, hydrological summer 1998 to 2008)



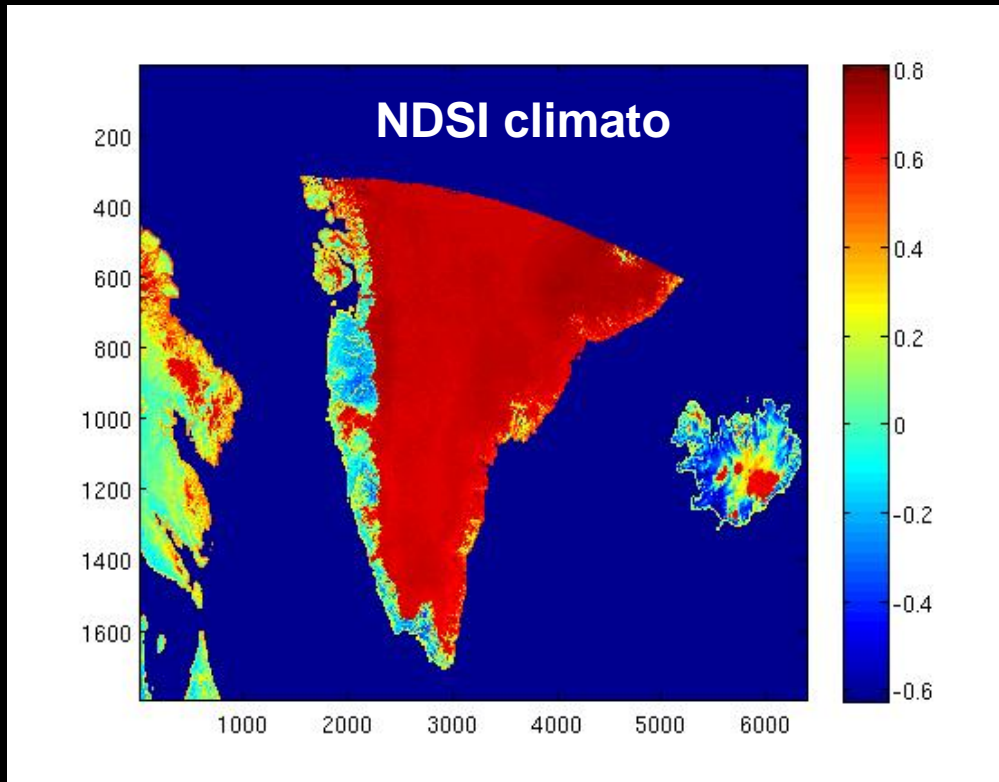
1998 to 2008, and for a NDSI of 0.10

Perspectives court terme (2013)

- Exploiter la base de données In situ sur les Alpes pour affiner la relation selon:
 - Altitude, taille orientation
 - Période de l'année
 - Choix du seuil NDSI
 - Affiner la relation BMG
- Amélioration des méthodes de synthèse décadaire

Perspectives 2014

1. Revisite des résultats sur l'Himalaya et d'autres zones (Andes, Rocheuses, Groenland)



2. Lien avec PROBAV successeur de SPOT/VEGETATION

Depuis le 7 mai 2013

PROBA V

Résolution 300m

Canaux identiques à SPOT/VGT



1
9
9
8



SPOT/VEGETATION
de 04/1998 à
06/2014

2	2	2
0	0	0
1	1	1
3	4	5



S3a



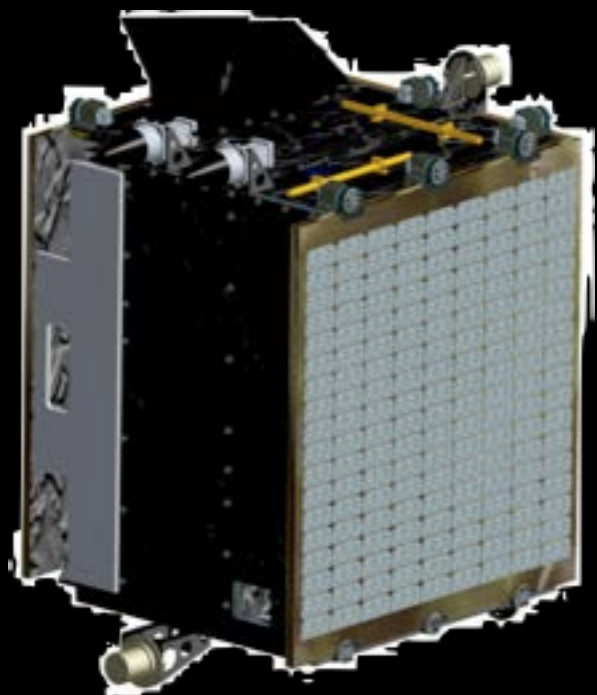
S3b

PROBA-V

Characteristics

- Mass: 160kg
- Dimensions: 0.76x0.73x0.84m
- 4 channels:

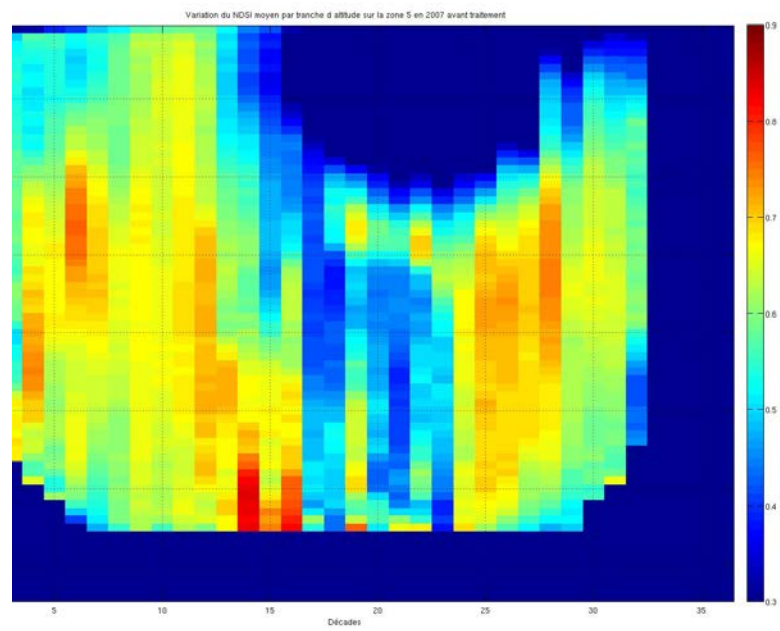
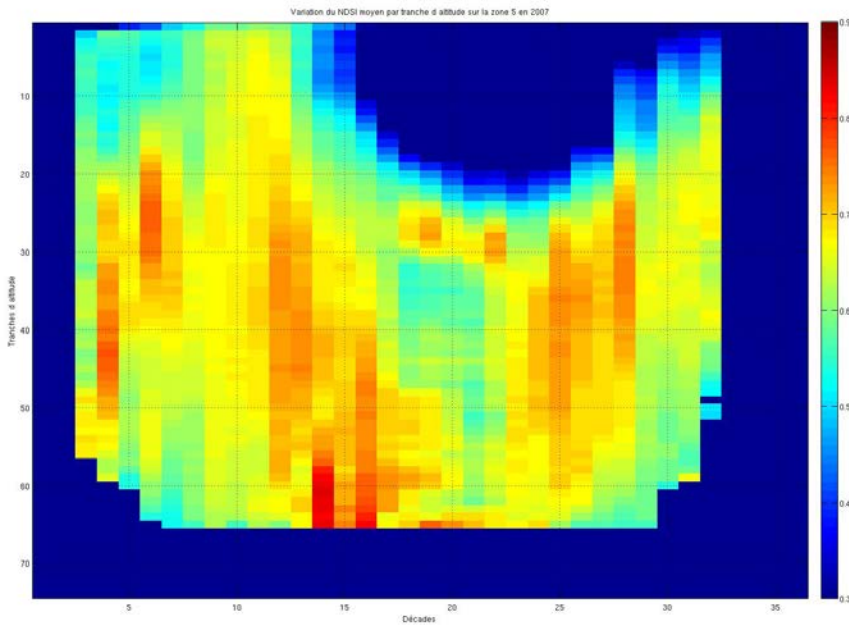
-Blue	0.45 - 0.49 μm
-Red	0.61 - 0.69 μm
-NIR:	0.77 - 0.89 μm
-SWIR	1.57 - 1.650 μm



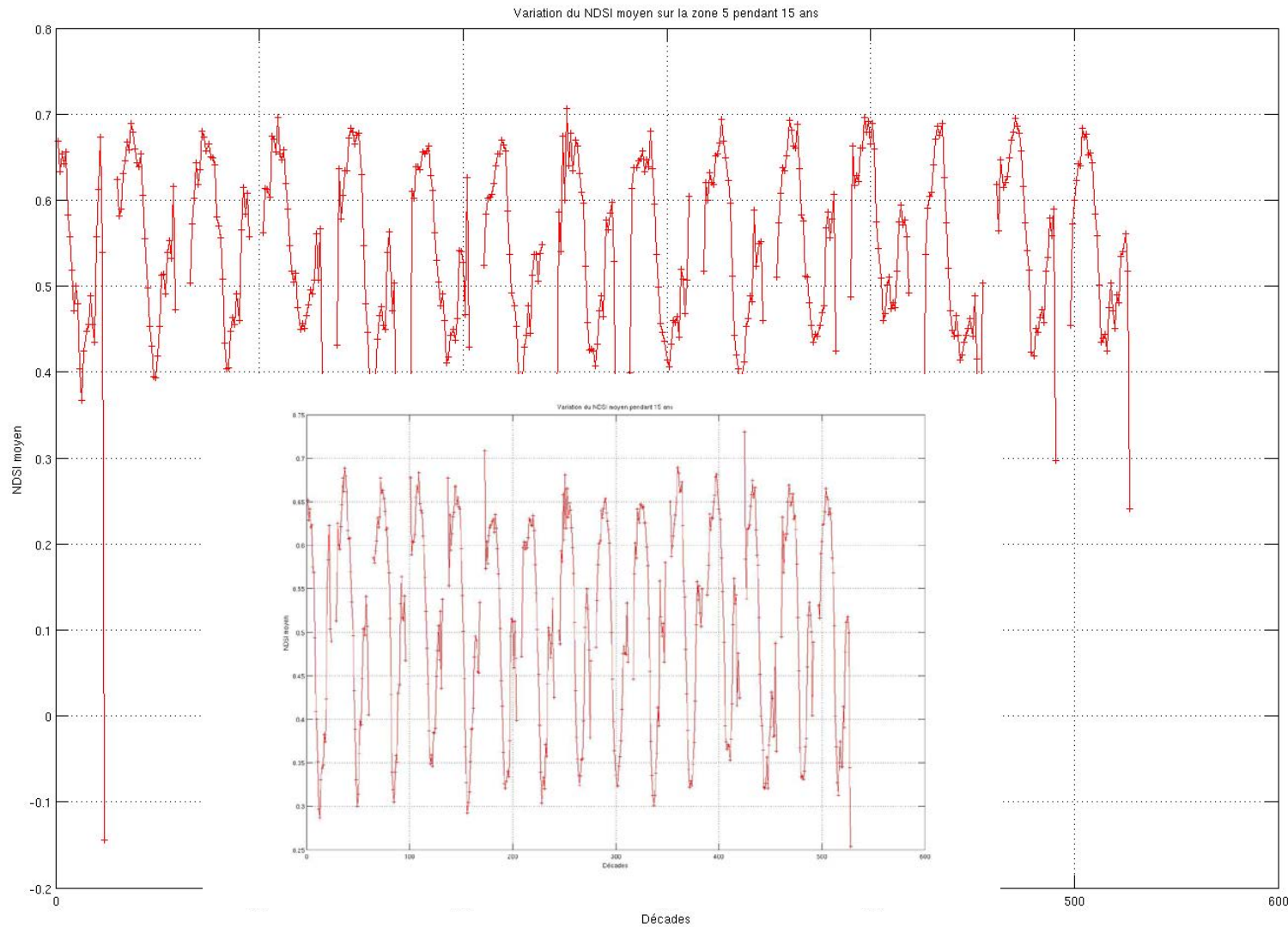
An Ocean and Land Colour Instrument (OLCI) is based on heritage from Envisat's Medium Resolution Imaging Spectrometer (MERIS). With 21 bands, compared to the 15 on MERIS, a design optimised to minimise sun-glint and, a resolution of 300 m over all surfaces, OLCI marks a new generation of measurements over the ocean and land. The swath of OLCI and nadir SLSTR fully overlap.

The pair of Sentinel-3 satellites will enable a short revisit time of less than two days for OLCI and less than one day for SLSTR at the equator. The satellite orbit provides a 27-day repeat for the topography package, with a 4-day sub-cycle.

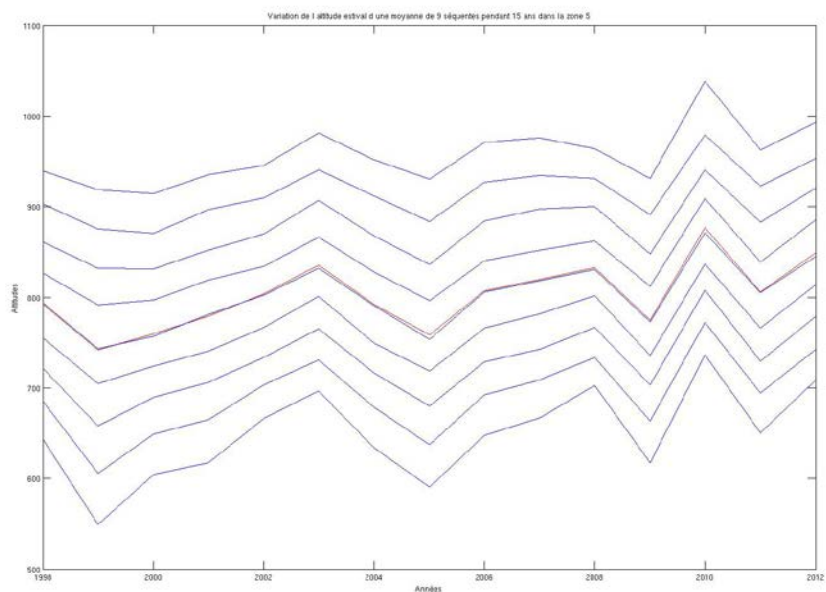
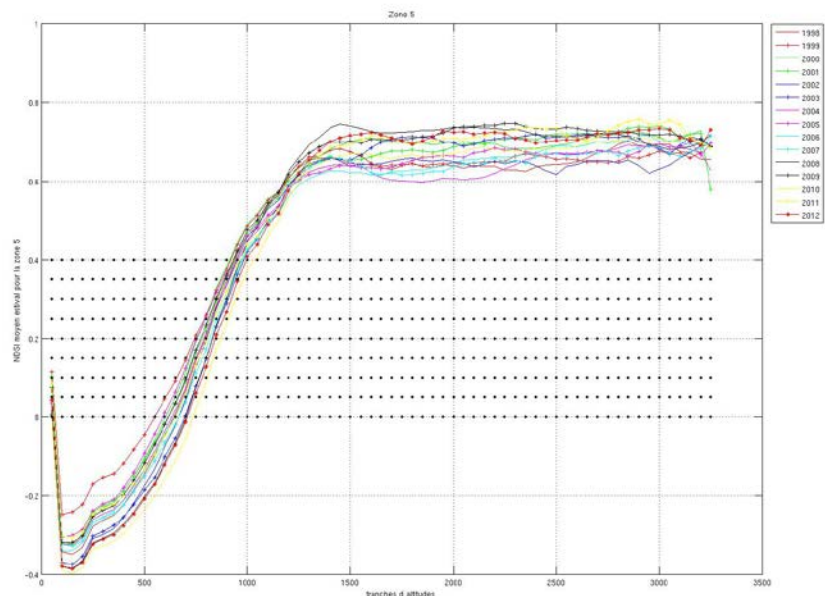
Filtrage des nuages



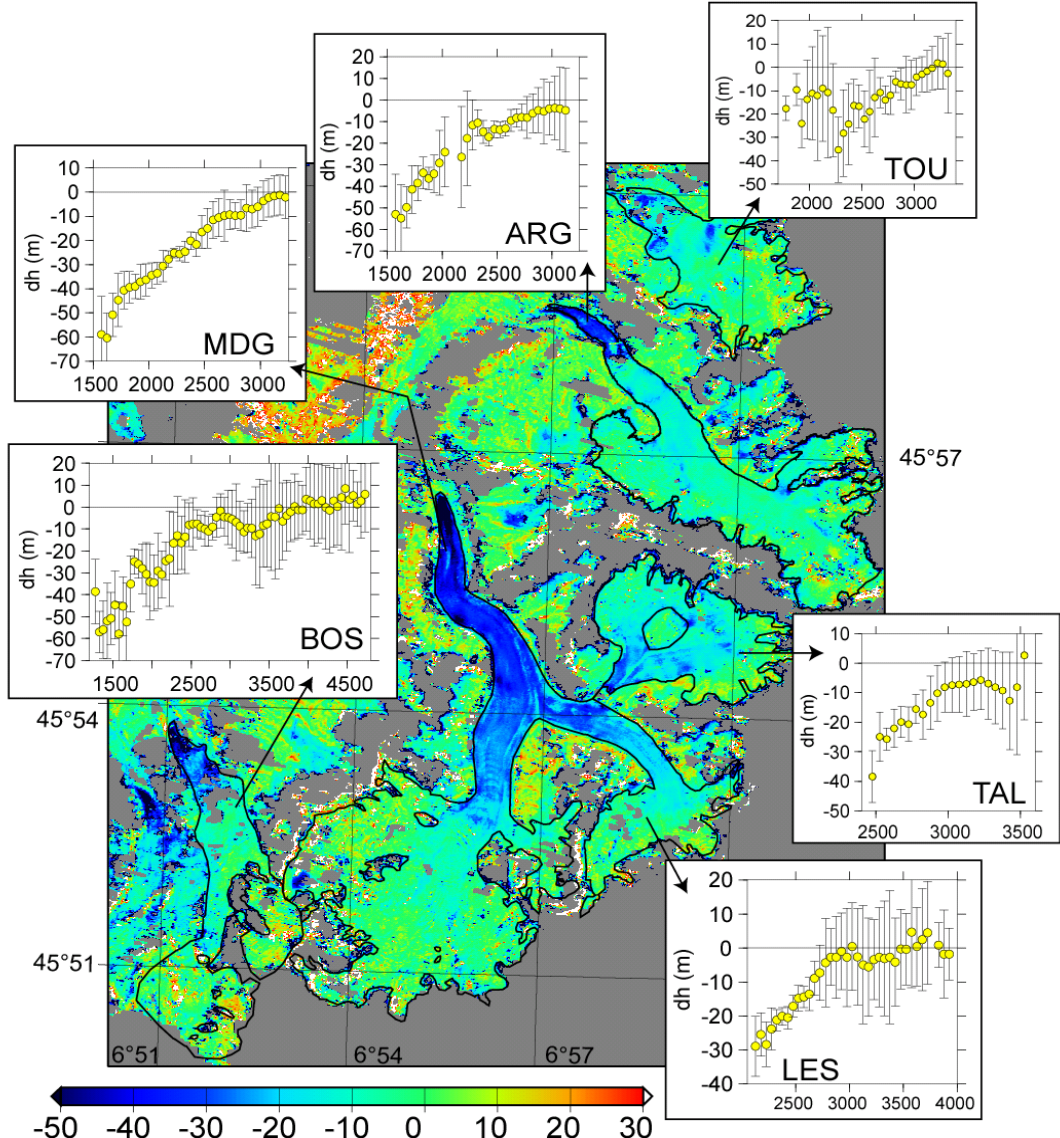
Filtrage des nuages



Autres Objectifs envisageables

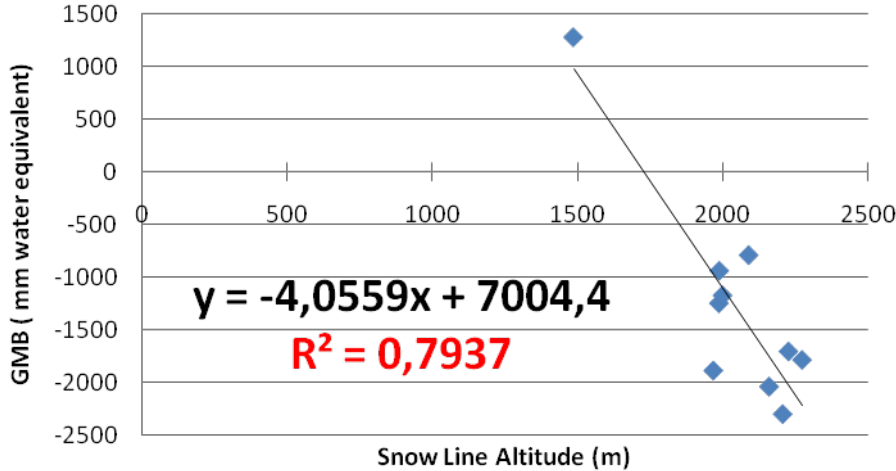


Fonte des glaciers alpins entre 1979 et 2003

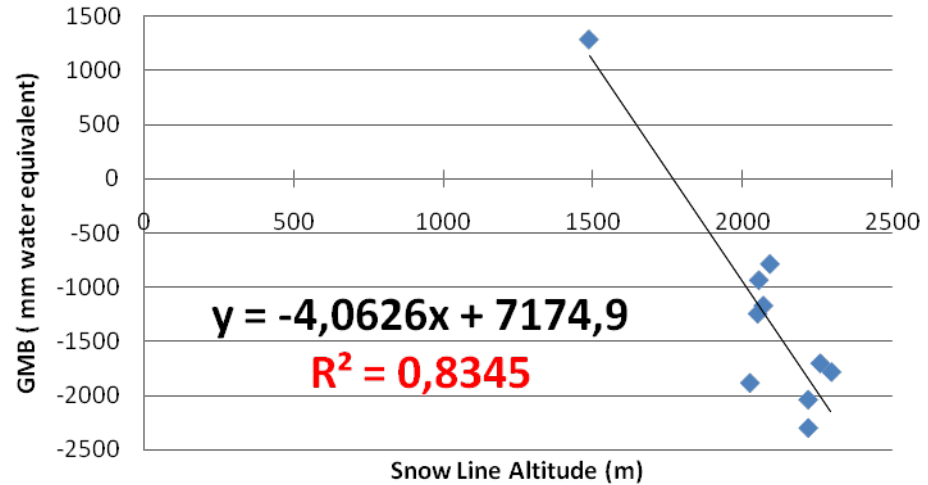


Best correlation between Snowline and GMB for a ROI size of 15x15 pixels, and a NDSI threshold of 0.15

ROI size: 9x9 pixels

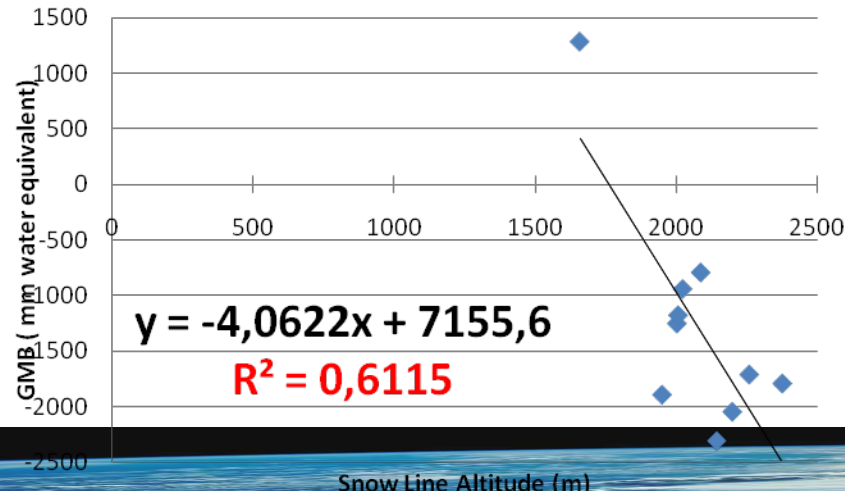


ROI size: 15x15 pixels



Linear regression between Snow line and GMB for a NDSI of 0.20

ROI size: 20x20 pixels

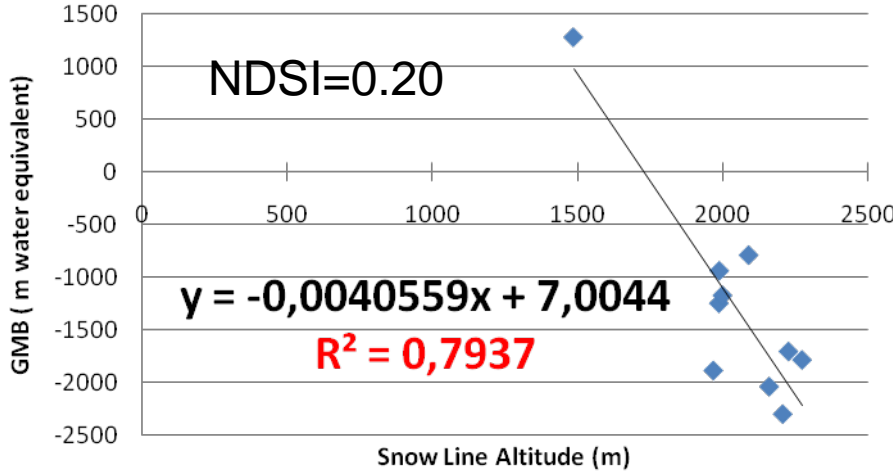


Linear regression between Snow line and GMB for a NDSI of 0.15

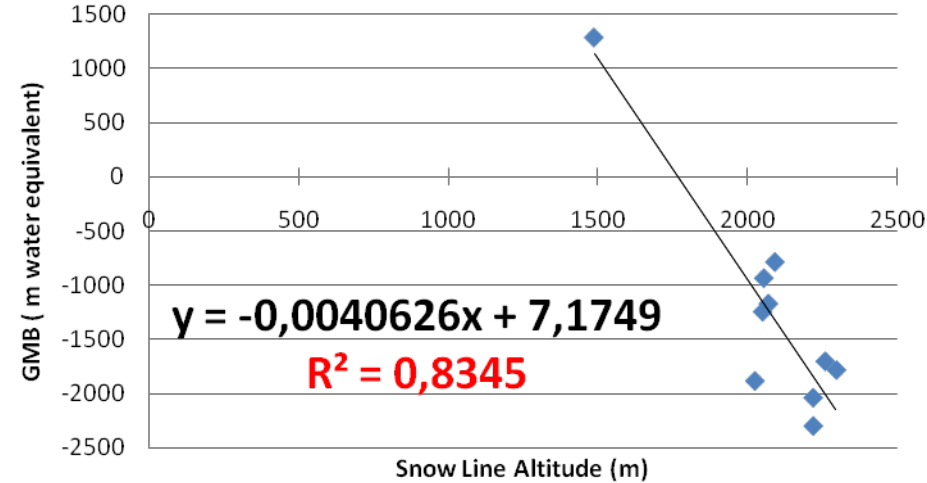
Linear regression between Snow line and GMB for a NDSI of 0.10

Best correlation between Snowline and GMB for a ROI size of 15x15 pixels, and a NDSI threshold of 0.15

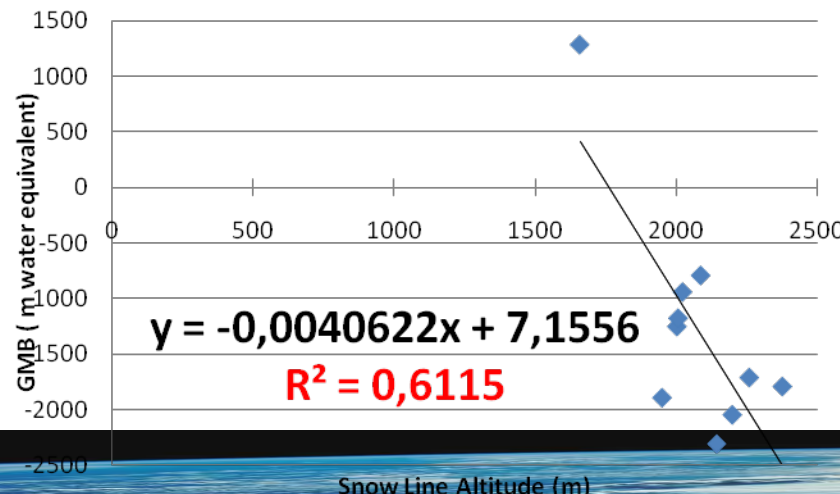
ROI size: 9x9 pixels



ROI size: 15x15 pixels

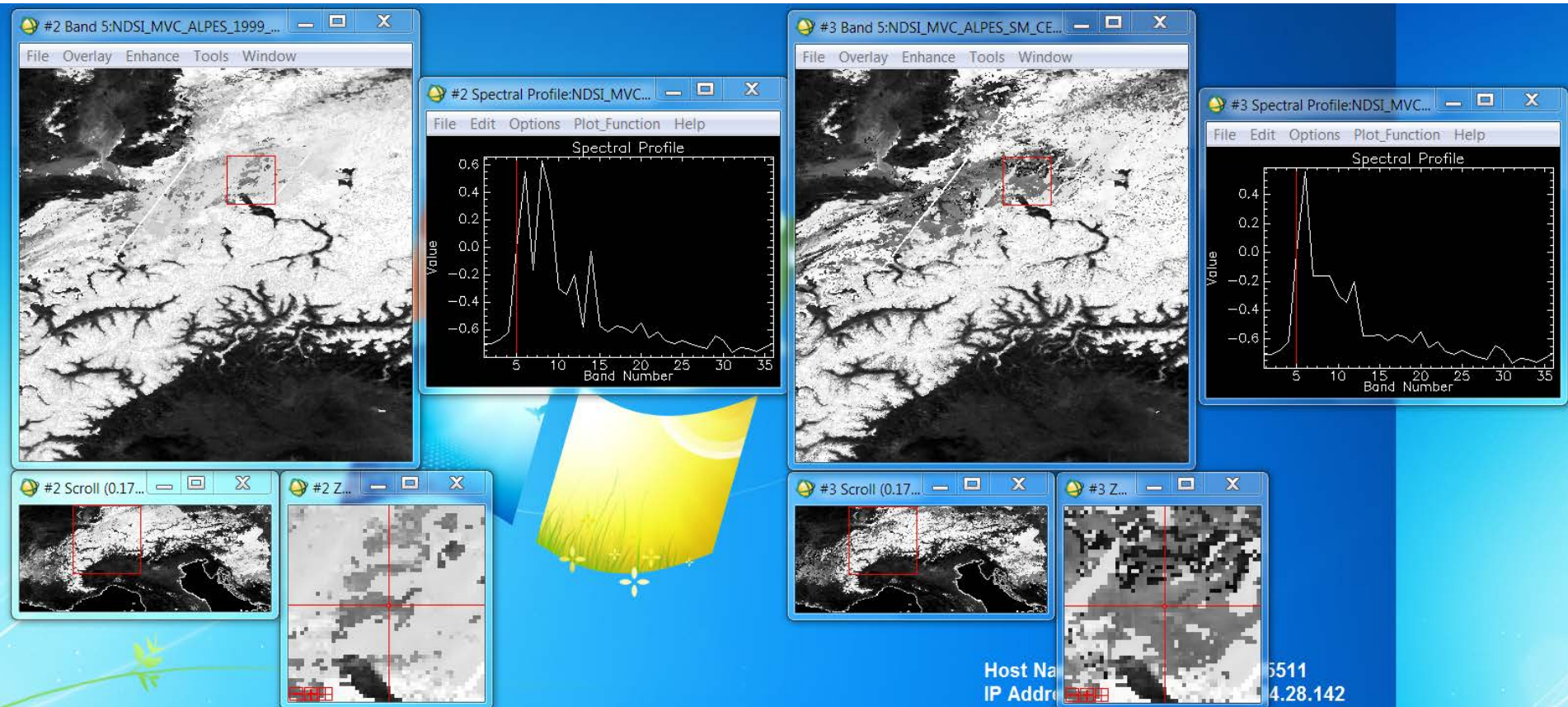


ROI size: 20x20 pixels



Linear regression between Snow line and GMB for a NDSI of 0.10

Filtrage des nuages



Untreated NDSI for the 2nd decade of November 1999 and profile for one pixel for the entire hydrological year 1999/2000

03/07/2015

NDSI after masking and interpolation, for the 2nd decade of November 1999 and profile for one pixel for the entire hydrological year 1999/2000

31